

تحلیل عددی جریان مافوق صوت روی یک پرتابه ضدزره با سابوت

رحمان مهدیانی^۲، مرتضی رزاقی^۳، علی سیف‌الهی گیلاندی^۴ و حسین اشرفی^۵

سازمان صنایع دفاع

سپیده رشدی^۱

دانشکده مهندسی شیمی

دانشگاه علم و صنعت ایران

(تاریخ دریافت: ۹۴/۷/۱۰؛ تاریخ پذیرش: ۹۴/۹/۱۹)

چکیده

در این مقاله، به شبیه‌سازی آبودینامیکی پرتابه ضدزره با سابوت و بدون سابوت پرداخته شده است. پرتابه ضدزره با سابوت بدلیل جرم کمتر، نسبت به پرتابه هم‌کالیبر خود، دارای سرعت دهانه بیشتر، برد بلندتر و نیز قدرت نفوذ و سرعت برخورد بالاتر نسبت به پرتابه‌های معمولی کالیبر کوچک است. شبیه‌سازی جریان اطراف دیواره‌های سابوت، در زوایای بازشدنی صفر و ۷۵ درجه در سرعت مافوق صوت به صورت سه‌بعدی با معادله توربولانسی اسپالارت-آلماراس انجام گرفته است. برای اعتبارسنجی ضریب درگ به صورت آزمایشگاهی در توپل باد مافوق صوت برای پرتابه‌های سابوت‌دار در زوایای بازشدنی صفر و ۷۵ درجه به دست آمده و با نتایج به دست آمده از تحلیل عددی مقایسه شده است. نتایج به دست آمده از شبیه‌سازی تطابق بسیار خوبی با نتایج تجربی از خود نشان داده است. در انتها، ضریب درگ به دست آمده از نتایج شبیه‌سازی در ضرایب بالستیک پرتابه ضدزره با سابوت قرار داده شد و افزایش ۲۴ درصدی ضریب بالستیک را نشان می‌دهد.

واژه‌های کلیدی: سابوت، کالیبر، ضریب درگ، توپل باد

Numerical Analysis of Supersonic Flow over an APDS Projectile

S. Roshdi

R. Mahdiani, M. Razaghi, A. Seifollahi, and H. Ashrafi

Chemical Engineering Department
Iran University of Science and Technology

Defense Industries Organization

(Received: 2/October/2015; Accepted: 10/December/2015)

ABSTRACT

Aerodynamic simulation of APDS projectile with and without sabot has been conducted here. Due to less weight of APDS projectile in comparison with the projectile, with the same caliber, APDS projectile has higher muzzle velocity, longer range, high penetration capability, and higher impact velocity. Simulation of flow around the sabot walls has been carried out in two opening degrees of zero and 75 at supersonic regime, using the 3D Spalart-Allmaras turbulence model. Problem verification has been tested, using the wind tunnel drag coefficient experimental data at two opening degrees of zero and 75 and close agreements have been obtained. The drag coefficient has been used in the ballistic coefficient calculations, wherein 24 percent improvement has been attained.

Keywords: Sabot, Caliber, Drag Coefficient, Wind Tunnel

۱- دانشجوی دکتری (نویسنده پاسخگو): sepedehroshdi@iust.ac.ir

۲- کارشناسی ارشد: rahman.mahdian@yahoo.com

۳- دانشجوی کارشناسی ارشد: razaghi_mech@yahoo.com

۴- کارشناسی ارشد: seifollahi_ali@yahoo.com

۵- استادیار: hashrafi@kashanu.ac.ir

۱- مقدمه

در آن، غلاف قرارگرفته بر روی پرتا به بعد از خارج شدن از سلاح، از آن جدا می شود [۲]. نام این غلاف جدا شونده سابوت^۸ (نام فرانسوی کفش چوبی) می باشد. پرتا به های ضدزره با سابوت دارای مزیت سبک بودن برای شتاب گرفتن بالا در لوله سلاح و سرعت دهانه بالاتر هستند و دارای ضریب درگ کمتر نسبت به APCR می باشند.

در زمینه طراحی پرتا به، تلاش جدی برای افزایش دقت و برد تسليحات انجام گرفته است. افزایش برد توسط انجام تغییراتی در داخل سلاح انجام می گیرد که این شامل شارژ باروت و یا طراحی مجدد اجزا سلاح می باشد تا بتواند فشار گاز را در داخل سلاح افزایش دهد. بخش بعدی این تحقیقات مربوط به تغییرات در هندسه پرتا به برای افزایش برد پرتا به می باشد. برای این منظور تحقیقات متفاوتی در این راستا انجام شده است. برای مثال سولیمان^۹ و همکاران با تغییراتی بر روی هندسه به کاهش ضریب درگ پرداختند. تحقیق آنها شامل بررسی خصوصیات جریان در اطراف پرتا به در اعداد ماخ مختلف و زاویه حمله صفر بود. برای این منظور یک پوسته با انتهای دماغی^{۱۰}، حفره پایه^{۱۱} و جریان انتهایی^{۱۲} و ترکیب این سه نیز در نظر گرفته شد. برای حالت ترکیبی از هر سه نوع آنها کاهش ضریب درگ تا ۶۰ درصد در رژیم مادون صوت و ۲۰ الی ۳۰ درصد به ترتیب در مصنوعی به عنوان سیستم کنترلی در جریان های مادون صوت در حرکت، توسط ساهو^{۱۳} و همکاران بررسی شد. معادلات ناویراستوکس وابسته به زمان برای برآورد بهم کنش جت در الگوی جریان برای پرتا به چرخشی در عدد ماخ ۰/۲۴ و زاویه صفر درجه توسط معادلات توربولانسی RANS و حالت ترکیبی RANS/LES بررسی شد [۴]. نتایج وابسته به زمان بیانگر تاثیر جت در الگوی جریان، ضرایب آبرودینامیکی و خصوصا نیروی لیفت بودند. با استفاده از نیروهای لیفت و گشتاورهای به دست آمده و به کارگیری این ضرایب در معادلات ۶ درجه آزادی، معادلات مسیر و رسیدن به هدف معین شد [۴]. در تحقیق کوکس^{۱۴} و همکاران، آبرودینامیک پرتا به با جت و بدون جت در معادلات مسیر پرتا به با تکیک^{۱۵} CFD-RBD بررسی

پرتا به ضدزره با سابوت^۱ (APDS) توسط مهندسان فرانسوی شرکت براندت^۲ قبل از آتشبس فرانسه- آلمان توسعه داده شده است. دلیل توسعه پرتا به ضدزره با سابوت، نیاز به پرتا به های ضدتانک دارای نفوذ بیشتر بود. پرتا به هایی با قابلیت نفوذ بیشتر، پرتا به هایی با سرعت نهایی^۳ زیاد و قطر بزرگ تر هستند که بتوانند نفوذ را بهبود بخشنند. پرتا به هایی با قطر بزرگ تر نیاز به سیستم سلاحی جدیدتر و دارای جرم بیشتری هستند. افزایش سرعت پرتا به های ضدزره حال حاضر (AP)^۴ به دلیل محدودیت های سرعت تاثیر فولاد معمولا با مشکل مواجه است. به منظور افزایش سرعت برخورد، ماده نفوذ کننده قوی مورد نیاز است. ماده جدید به کار برده شده کربید تنگستن^۵ می باشد. این به این دلیل است که به خاطر سختی خیلی زیاد، توانایی مقاومت در شوک بالا و فشارهای تولید شده در سرعت های نفوذ بسیار بالا را دارد. به دلیل این که دانسیته کربید تنگستن برابر ۱۵/۷ گرم بر سانتی متر مکعب، تقریبا دو برابر فولاد ۷/۸۶ گرم بر سانتی متر مکعب) می باشد، بنابراین هنگام شلیک برای رسیدن به سرعت کافی دهانه تفنگ^۶ با مشکل مواجه است. برای غلبه بر این مشکل، پوسته ای با دانسیته کمتر مواجه هسته کربید تنگستنی را می پوشاند. ضخامت پوسته همراه قطر هسته تنگستنی، برابر قطر کامل پرتا به در سلاح می شود. در این صورت دانسیته پرتا به جدید کمتر از هسته خالص کربید تنگستنی می شود. اسم این پرتا به همان پرتا به ضدزره صلب مرکب^۷ (APCR) می باشد. پرتا به APCR نصف پرتا به استاندارد AP وزن دارد و از نظر قطر با آن برابر است. به دلیل سطح بسیار زیاد طراحی شده بر روی پرتا به، گاز سطح بسیار زیادی را برای برخورد بر روی پرتا به سبک APCR می یابد، بنابراین شتاب متوسط بسیار بزرگ را بر روی پرتا به پیدا می کند و سبب افزایش سرعت دهانه تفنگ می شود. به دلیل دانسیته مقطعی پایین در پرتا به ضدزره صلب مرکب، انرژی انتقالی پرتا به پایین تر (به دلیل ضریب درگ بالاتر)، کاهش سرعت بیشتر و در نتیجه نفوذ در فاصله های زیاد کمتر می شود [۱]. برای غلبه بر محدودیت های اشاره شده، بریتانیا اقدام به توسعه روش جدیدی نموده است که

8- Sabot
9- Suliman
10- Bottail
11- Base Cavity
12- Base Bleed
13- Sahu
14- Kokes
15- Rigid Body Technic

1- APDS(Armor Piercing Discarding Sabot)
2- French Edgard Brandt
3- Terminal Velocity
4- Armor Piercing
5- Tungsten Carbide
6- Muzzle Velocity
7- Armor Piercing Composite Rigid

۲- روش آزمایش تجربی

بعد از خارج شدن پرتابه APDS از سلاح، پوشش پلیمری مشاهده شده در (شکل ۱-الف)، در اثر دوران و نیروهای آیرودینامیکی از حالت اولیه (زاویه صفر درجه) به زوایای بزرگ تر و در نهایت به حالت بازشدگی کامل ۷۵ درجه (شکل ۱-ج) تغییر شکل می‌یابد و در نهایت از هسته جدا می‌شود. در حالت بازشدگی ۷۵ درجه پوشش پلیمری (شکل ۱-ج) سایوت از هسته جدا شده و فقط هسته پرتابه (شکل ۱-ب) به مسیر خود ادامه می‌دهد.

مدل با مقیاس ۳:۱ مورد آزمایش قرار گرفت. محفظه آزمون مربعی و $44 \times 6 \times 10^3$ m³ بوده و در بازه عملکرد عدد ماخ ۰/۴ تا ۳ کار می‌کند. سیستم مجهز به نازل مسطح کنترل شونده به وسیله ۷ جفت جک و ازکتورهای صوتی برای تطبیق جریان هوا و دارای واحد قدرت با دو موتور توربوفن D-30KY و D-30KY می‌باشد. سیستم آن کنترل از راه دور بوده و الکترومکانیک می‌باشد. شماتیک تونل باد و نحوه نصب پرتابه با درجه بازشدگی ۷۵ درجه به ترتیب در شکل‌های ۲-۳ قابل مشاهده است.



ب

الف



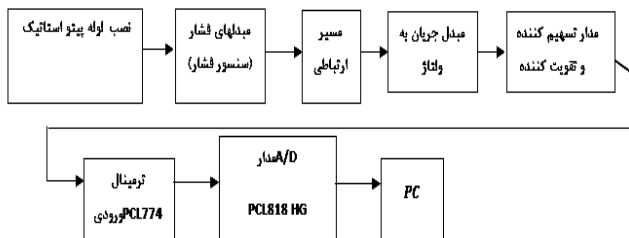
ج

شکل (۱): شماتیک (الف) پرتابه APDS با سایوت بسته (صفدرجه) (ب) شماتیک پرتابه APDS بدون سایوت و (ج) شماتیک سایوت با درجه بازشدگی ۷۵ درجه.

شد. موقعیت‌های مکانی محاسبه شده و جهت‌گیری پرتابه با داده‌های واقعی مقایسه شدند. نتایج شامل میدان جریان، نیروهای آیرودینامیک و گشتاور و مسیر پرتابه بودند [۵]. کوپل CFD/PBD در تحقیق کوکس^۱ و همکاران برای شبیه‌سازی پرتابه‌های متعادل شده با پره و با دوران نیز به کار رفته است [۵]. دسپیرتو^۲ و همکاران به بررسی ضایعات آیرودینامیکی پرتابه M910، در اندازه ۲۵ میلی‌متر پرداختند. گشتاور مگنوس^۳ در RANS-LES شبیه‌سازی مادون و حدود صوت^۴ با محاسبات انجام شده در حالی که ضایعات دیگر از محاسبات پایا به دست آمدند. توزیع نیرو و گشتاور نشان دادند که تاثیر گشتاور فقط در انتهای پرتابه است [۶]. در کار انجام شده توسط ماسی^۵ و همکاران آزمایشات تونل باد برای محاسبات ضرائب آیرودینامیکی برای معادلات مسیر^۶ درجه آزادی مورد استفاده واقع شد و نتیجه‌گیری کردند که ترکیب آزمایشات تست‌های تونل باد، دینامیک سیالات محاسباتی، ۶ درجه آزادی و آنالیز اجزا محدود^۷ می‌توانند در طراحی و هدایت پرتابه‌هایی که قابلیت‌های مورد انتظار را داشته باشند، به کار برد شوند. توسط جایگزینی مناسب پره‌ها برروی پرتابه‌ها می‌توان نیروهای کنترلی قوی را برای طراحی پرتابه‌های با سرعت بیشتر ایجاد کرد [۷].

شبیه‌سازی دینامیک سیالات محاسباتی پرتابه APDS علی‌رغم اهمیت آن از نظر سرعت دهانه، برد، نفوذ و برتری آن نسبت به سایر پرتابه‌ها در مطالعات پیشین مشاهده نشد. این پرتابه‌ها دارای جرم سبک‌تر در کالیبر مشابه پرتابه‌های پرنفوذ AP تلقی می‌شوند. علاوه‌بر آن جرم پرتابه هنگام جداسدن سایوت که بلا فاصله بعد از خروج از دهانه سلاح انجام می‌گیرد، سبک‌تر نیز می‌شود. شبیه‌سازی آیرودینامیکی پرتابه‌های AP APDS سایوت‌دار با ۲ درجه بازشدۀ صفر و ۷۵ درجه و پرتابه APDS با هسته تنگستنی بدون سایوت در این تحقیق انجام شد. بهدلیل اعداد ماخ مافوق صوت، مساله تراکم‌پذیری گاز مطرح شده و دانسیته گاز از حالت گاز ایده‌آل به دست آمد. بنابراین معادلات انرژی و معادلات توربولانسی نیز همگام با معادلات مومنتم و پیوستگی می‌بایست حل شوند. گام بعدی این تحقیق استفاده از نتایج شبیه‌سازی CFD در معادلات شش درجه آزادی و تاثیر تغییرات در هندسه در مسیر پرتابه است.

- 1- Kokes
- 2- DeSpirito
- 3- Magnus Moment
- 4- Trasonic
- 5- Massey
- 6- FEA



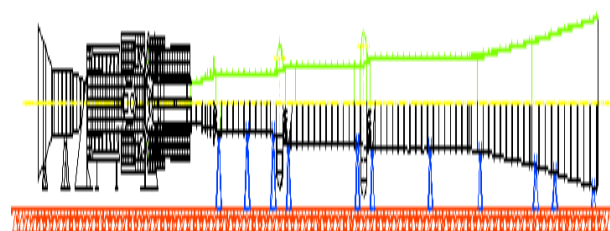
شکل (۳): نمای کلی سامانه‌ی اخذ اطلاعات.

سیگنال‌های ارسالی از بالانس یا سنسورهای فشار و دما پس از عبور از مالتی‌پلکسراها و تقویت و فیلترشدن، توسط یک برد A/D در اختیار کامپیوچر قرار داده می‌شود. سیگنال‌های ورودی به کامپیوچر، توسط نرم‌افزار نوشته شده به زبان پاسکال پردازش شده و ضرایب و نتایج مورد نیاز به دست می‌آیند.

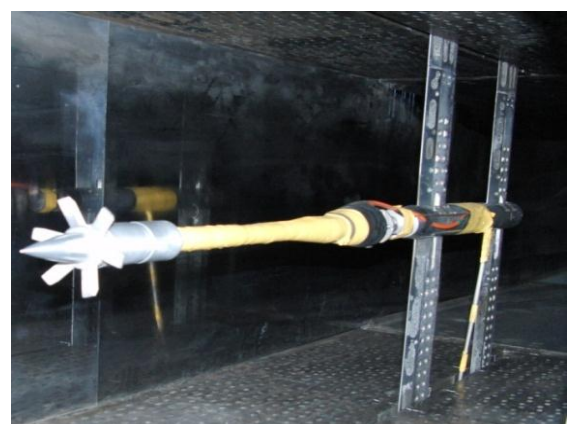
جهت اندازه‌گیری بارهای واردہ بر مدل از یک بالانس استرین گیجی^۱ داخلی ۶ مؤلفه بوده که از انتهای واردہ مدل شده و در نقطه مناسب با کمک آداپتور مخروطی به مدل متصل می‌گردد، استفاده می‌شود. نکته مهم این که مناسب با میزان حدکثیری بارهای واردہ بر مدل، بالانس مناسب انتخاب می‌گردد که با توجه به شرایط مدل، بالانس BTB3 انتخاب شد.

نحوه عملکرد بالانس بدین صورت است که بارهای اعمالی روی مدل مورد تحقیق از قبیل نیرو و گشتاور توسط المان‌های بالانس احساس شده و به کمک استرین گیج‌های نصب شده و پل وتسون^۲ به سیگنال‌های الکتریکی مناسب تبدیل می‌شود. مقدار این سیگنال‌ها به کمک سیستم کسب اطلاعات مشتمل بر برد A/D و کامپیوچر ثبت شده است. با استفاده از روابط ریاضی از پیش تعیین شده پردازش شده و بارهای اعمالی روی مدل مورد تحقیق به صورت کمیت‌های مطلق (kgf-kgf.m) یا به صورت کمیت‌های نسبی (ضرایب آبرودینامیکی) به دست می‌آیند. منبع تعذیب استرین گیج‌های بالانس - جریان پیوسته با ولتاژ ثابت 6 ± 0.1 می‌باشد.

با استفاده از آزمایشات تونل باد، ضرایب درگ از نتایج آزمایشات به دست آمده و در شکل ۵ گزارش شده است. همان‌طور که مشاهده می‌شود با افزایش عدد ماخ روند ثابتی در ضرایب درگ برای پرتا به ها مشاهده می‌شود، هرچند که ضریب درگ به دست آمده برای درجه بازشگی ۷۵ درجه بیشتر است.



شکل (۲): شماتیک سیستم تونل باد.



شکل (۳): سیستم نگه‌دارنده مدل و بالانس در تونل باد.

جهت انجام آزمایش، علاوه بر مدار کلی تونل باد از دستگاه‌ها و تجهیزات زیادی استفاده می‌شود که شامل دستگاه‌های راهانداز موتور جت شامل موتور الکتریکی برای تهیه ولتاژ مورد نیاز برای استارت‌ر، استارت‌ر برای استارت اولیه موتور و صفحه کنترل موتور برای کنترل عملکرد موتور در هنگام انجام آزمایش می‌باشد. همچنین، دستگاه‌های اندازه‌گیری مورد استفاده عبارتند از:

- مانومتر ۴۰ لوله‌ای، جهت به دست آوردن توزیع عدد ماخ در طول تونل باد،

- بارومتر، جهت اندازه‌گیری فشار کل در محل‌های مورد نظر،

- مانومتر یک لوله‌ای، برای اندازه‌گیری فشار در محل‌های مورد نظر،

- لوله‌های پیتو استاتیک، جهت احساس کردن فشار استاتیک و فشار کل در نقاط مورد نظر،

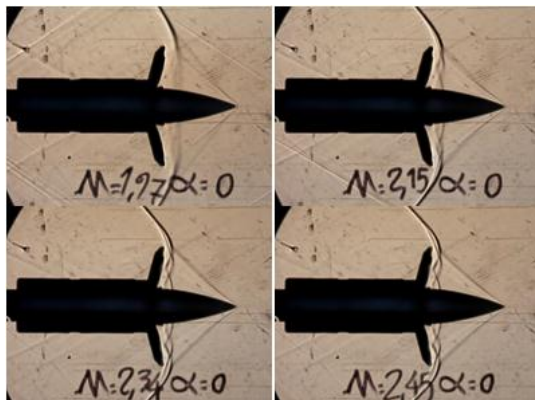
- سنسورهای دقیق فشار و

- دستگاه شلیرین: جهت دریافت اطلاعات و پردازش روی آنها از این دستگاه استفاده می‌شود. در شکل ۴، نمای کلی

سامانه اخذ اطلاعات نشان داده شده است

¹ Strain gauge

² Wheateston Bridge



شکل (۶): تصاویر شلرین مدل گلوله ۱۲/۷mm-APDS با سابوت ۷۵ درجه در اعداد ماخ متفاوت.

۳- روش مدل سازی

در این قسمت به روش حل مساله همراه معادلات حاکم و نحوه-ی تخصیص شرایط مرزی و الگوریتم حل پرداخته شده است.

۳-۱- معادلات حاکم

معادلات حاکم بر حل مساله شامل معادلات پیوستگی، مومنتم و معادله مدل توربولانسی (روابط (۱-۴)) می‌باشند. به دلیل استفاده از معادله حالت گاز ایده‌آل، معادله انرژی نیز همزمان با سایر معادلات حل می‌شود [۸].

معادله پیوستگی

$$\frac{\partial \rho}{\partial t} + \nabla \cdot \rho u = 0 \quad (1)$$

معادله مومنتم

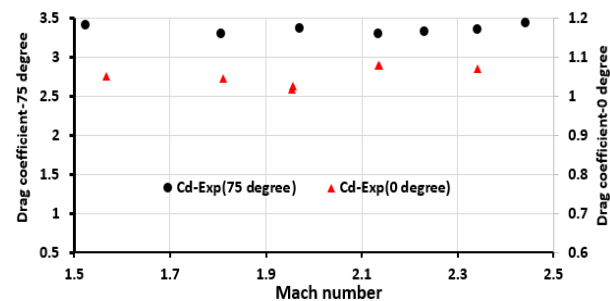
$$\frac{\partial \rho u}{\partial t} + \nabla \cdot \rho uu = -\nabla p + \nabla \cdot \bar{\tau} + \rho g \quad (2)$$

در معادله فوق، P فشار استاتیک، $\bar{\tau}$ تانسور تنش و ρg به عنوان نیروی حجمی گرانشی می‌باشد. تانسور تنش به صورت زیر تعریف می‌شود:

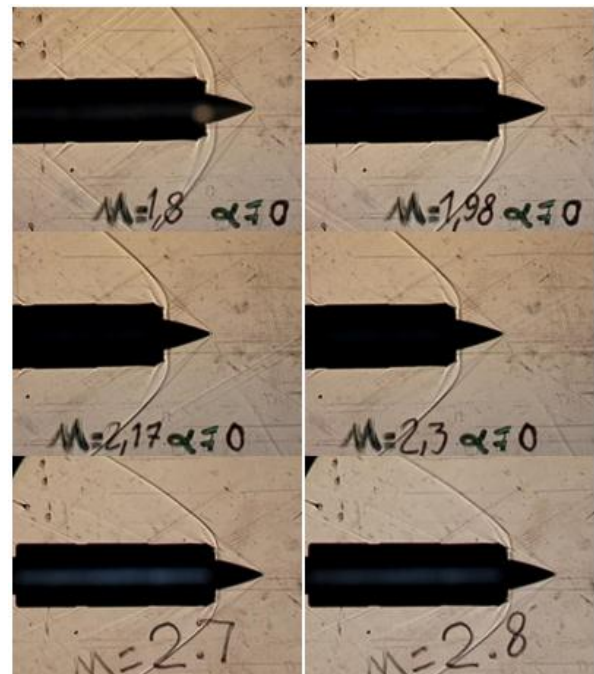
$$\bar{\tau} = \mu \left[(\nabla u + \nabla u^T) - 2/3 \nabla \cdot u I \right]. \quad (3)$$

در معادله (۳)، I لرجت مولکولی بوده و I تانسور واحد است و دومین عبارت سمت راست، اثر تراکم‌پذیری می‌باشد. برای شبیه‌سازی آشفتگی از معادلات اسپالارت-الماراس^۲ (S-A) استفاده شده است. معادله S-A، تک معادله ساده‌ای است که عموماً جهت حل معادلات اغتشاشی در سیستم‌های هوافضایی در مسایلی که بحث جدایش لایه مرزی به دلیل افزایش گرادیان فشار به وجود می‌آید به کار می‌رود. معمولاً برای اعداد رینولدز پایین استفاده می‌شود. بنابراین برای اعداد رینولدز

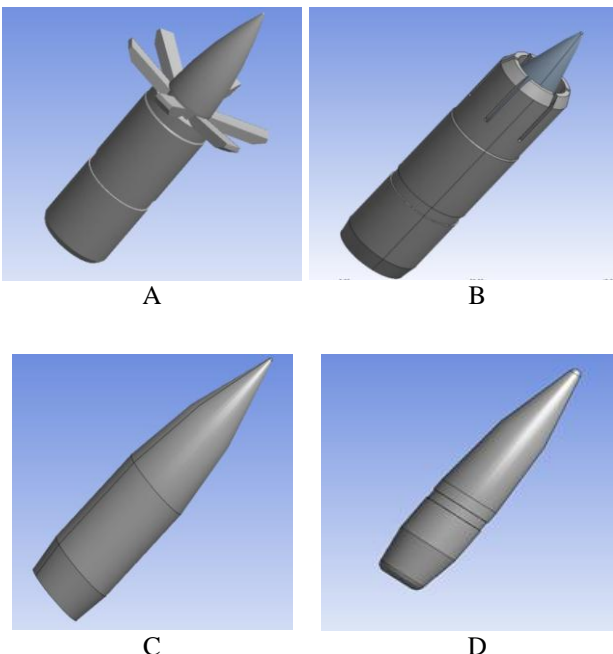
تصاویر شلرین^۱ حاصل از تست‌های تونل باد در شکل‌های ۶-۷ به ترتیب برای سابوت با درجه بازشده‌گی صفر و ۷۵ درجه نشان داده شده است. در مورد پرتابه با درجه صفر درجه، با افزایش عدد ماخ جبهه شوک از سر گلوله به سمت پایین عقب‌نشینی می‌کند در مورد سابوت با درجه بازشده ۷۵ درجه، با افزایش عدد ماخ و درگ فشاری بیشتر، نوساناتی در تصاویر شلرین در لبه پرتابه دیده می‌شود.



شکل (۴): نتایج تجربی ضرایب درگ از تست‌های تونل باد برای پرتابه APDS (سابوت با درجه بازشده‌گی صفر و ۷۵ درجه).



شکل (۵): تصاویر شلرین مدل گلوله ۱۲/۷mm-APDS با سابوت صفر درجه در اعداد ماخ متفاوت.



شکل (۷): هندسه پرتابه‌های مختلف شبیه‌سازی شده.

جدول (۱): مشخصات پرتابه‌های AP و APDS

Bullet	W(gr)	D(mm)
APDS with Sabot	۲۷/۹۴۲۸	۱۲/۹۵
APDS without Sabot	۲۳/۹۴۲۸	۹
AP	۴۲/۳۵	۱۲/۹۵

برای اطراف دامنه محاسباتی از شرط مرزی Pressure Far Field استفاده شده است و در نواحی اطراف پرتابه از شرط مرزی دیواره استفاده شد. شرط مرزی Pressure Far Field وقتی به کار می‌رود که معادله حالت گاز ایده‌آل بوده و در جایی باشد که بهمیزان کافی از شیء شبیه‌سازی شده، فاصله داشته باشد (شکل ۹) [۱۰]. شرایط مرزی دما و فشار ورودی طبق معادله‌های (۸-۹) محاسبه و به عنوان ورودی نرم‌افزار قرار داده شد.

$$\frac{P_0}{P} = \left[1 + \left(\frac{\gamma - 1}{2} \right) M^2 \right]^{\frac{\gamma}{\gamma - 1}} \quad (8)$$

$$\frac{T_0}{T} = 1 + \left(\frac{\gamma - 1}{2} \right) M^2 \quad (9)$$

بالا می‌بایست معادلات مومنتم حول لایه مرزی بهدرستی حل شوند. برای این منظور، شبکه محاسباتی باید به اندازه کافی در کنار دیواره‌ها ریز شده باشد [۸-۹]، که در این مقاله از این روش استفاده شده است. معادله انتقال S-A به صورت زیر نوشته می‌شود:

$$\frac{D\tilde{v}}{dt} = c_{b1}(1 - f_{r2})\tilde{s}\tilde{v} + \frac{1}{\sigma} [\nabla((v + \tilde{v}))\nabla\tilde{v} + c_{b2}(\nabla\tilde{v})^2] - \left(c_{w1}f_w - \frac{c_{b1}}{k^2}f_{r2} \right) \left(\frac{\tilde{v}}{d} \right)^2 + f_{r1}\nabla U^2, \quad (4)$$

که در آن، پارامتر \tilde{v} در جریان‌های لمینار، توسط ویسکوزیته Sutherland محاسبه می‌شود. ∇ ترم نوشته شده در معادله (۴)، به ترتیب مربوط به تولید، نفوذ، اتلاف و انتقال می‌باشند [۱۲].

علاوه بر معادلات ذکر شده در بالا، معادله انرژی نیز به صورت زیر حل می‌شود [۱۲]:

$$\frac{\partial(\rho E)}{\partial t} + \nabla \cdot (\rho E + P) = \nabla \left(\left(k + \frac{c_p \mu_t}{Pr_t} \right) \nabla T + \left(\bar{\tau}_{eff} \cdot u \right) \right), \quad (5)$$

که در معادله (۵)، k ضریب هدایت حرارتی فاز سیال می‌باشد و $\bar{\tau}_{eff}$ از رابطه زیر به دست می‌آید:

$$(\tau_{ij})_{eff} = \mu_{eff} \left(\frac{\partial u_j}{\partial x_i} + \frac{\partial u_i}{\partial x_j} \right) - \frac{2}{3} \mu_{eff} \frac{\partial u_i}{\partial x_i} \delta_{ij}, \quad (6)$$

$$\rho = \frac{P}{RT}. \quad (7)$$

۲-۳- دامنه محاسباتی و شرایط حل

در این مقاله به بررسی آیرودینامیکی APDS با سابوت در ۲ درجه بازشدنی صفر و ۷۵ درجه، هسته ثاقب APDS بدون سابوت و پرتابه AP پرداخته شده است. همان‌طور که در قسمت مقدمه نیز به این موضوع پرداخته شده است، فرق پرتابه AP با APDS بدون سابوت در وزن پرتابه، قطر و طول آن است. پرتابه AP دارای قطر و وزن زیادتری می‌باشد. همچنین، طول پرتابه APDS بدون سابوت (شکل ۸) قسمت C از پرتابه AP (شکل ۸) قسمت D کمتر است. مشخصات وزنی و قطر پرتابه AP و APDS در جدول ۱ مشاهده می‌شود. همچنین، در شبیه‌سازی‌ها پرتابه APDS با درجه بازشدنی ۷۵ درجه پرتابه نوع A، با درجه بازشدنی صفر درجه پرتابه نوع B در نظر گرفته شده است.

همزمان و کوپل شده با هم حل شدند. در ابتدای حل مساله برای معادلات انفال از روش First Order Up Wind استفاده شد. بدینهی است که این روش دارای دقت کمتری است، اما حدس اولیه خوبی از جواب نهایی مساله را می‌دهد. ضرایب پسماند^۴ بهمنظور حل مساله معمولاً کمتر از $1/5$ برای حل مساله اختیار شدند که، در همگرایی حل مساله تاثیر بسزایی دارند. با توجه به تغییرات ناچیز دمای هوا حول پرتابه، از تغییرات خواص با دما صرف نظر گردید. همچنین، معیار همگرایی مساله بر مبنای ضریب درگ تعریف شد و هنگامی که ضرایب درگ تغییرات قبل توجه با زمان نشان ندادند، پس پردازش در ان زمان انجام شد.

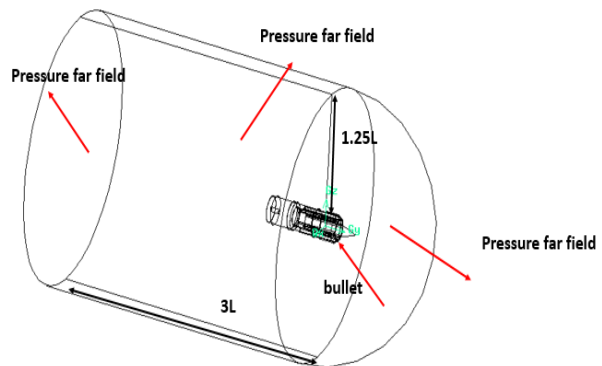
۴- نتایج و بحث

در این قسمت در ابتدا به مقایسه نتایج حل عددی با نتایج تجربی پرداخته شده است و در ادامه، نتایج سرعت، مقایسه نتایج دانسیته و تصاویر شلرین، نیروی درگ، درگ فشاری و ویسکوز مورد بررسی قرار گرفته است. در انتها ضریب بالستیک پرتابه های شبیه سازی شده مورد مقایسه قرار گرفته است.

۴-۱- آنالیز حساسیت مش و اعتبارسنجی

برای تولید شبکه از شبکه بی‌سازمان در شبیه سازی ها استفاده شد. با توجه به این که گرادیان های سرعت و فشار در نواحی دیواره ها از اهمیت بیشتری برخوردارند، بنابراین در این نواحی از شبکه بندی لایه مرزی^۵ استفاده شده است. در این نواحی کل حجم به حجم های کوچک تقسیم و روی این احجام از شبکه بندی بی‌سازمان استفاده شد. شماتیک شبکه در سطوح مقطع مختلف از x برای پرتابه نوع A در شکل ۱۰ نشان داده شده است.

گام اول در شبیه سازی CFD بررسی تاثیر عدم حساسیت نتایج حل به ساختار مش می باشد. برای این منظور در سایز مش متفاوت، نتایج ضریب درگ برای پرتابه های A، B، C و D به دست آمد و پس از اطمینان از عدم تغییر نتایج مساله با تغییر مش، مش مناسب حل مساله انتخاب گردید. نمونه ای از آنالیز حساسیت مش در شکل ۱۱ نشان داده شده است. همان طور که ملاحظه می شود پس از تعداد مش $130,453$ تغییر محسوسی در ضریب درگ برای عدد ماخ $2/34$ برای پرتابه A دیده

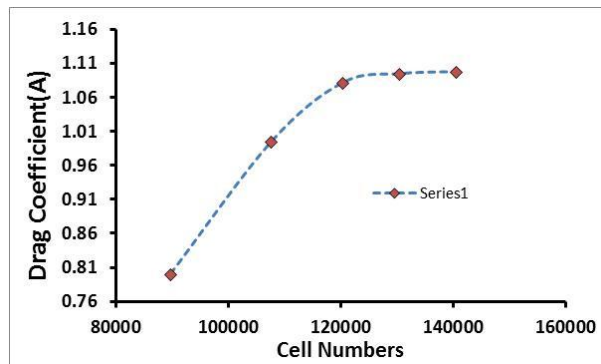


شکل (۸): شماتیک دامنه محاسباتی مورد استفاده قرار گرفته در شبیه سازی ها.

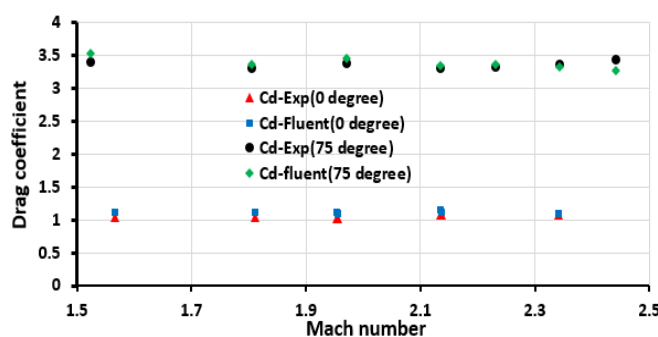
در شبیه سازی انجام شده، مقدار P_0 برابر ۱ اتمسفر، مقدار γ برای گاز ایده آل برابر $1/4$ و مقدار ورودی دما برای T_0 ، دمای محیط یعنی 298 درجه کلوین درنظر گرفته شد. بدین ترتیب شرایط دما و فشار ورودی برای هر عدد ماخ تعیین شد. اندازه دامنه محاسباتی همان طور که در شکل ۹ نشان داده شده است با ابعاد 3 برابر $1/25$ برابر طول پرتابه (5.25 سانتی متر) در نظر گرفته شد که بعد از آن، بزرگ تر شدن دامنه محاسباتی با وجود مش های لایه مرزی، صرفا هزینه محاسباتی بر مساله اعمال می کرد بدون این که در جواب های ضریب درگ تاثیری داشته باشد.

روش های مرسوم در حل جریان های مافوق صوت شامل روش های چگالی پایه^۶ و فشار پایه^۷ هستند. اگرچه در روش های پیشین، روش های دانسیته پایه به عنوان قوی ترین حلگرهای در زمینه جریان های تراکم پذیر در اعداد مافوق صوت کاربرد داشتند، اما امروزه روش های فشار پایه نیز به عنوان روش کاربردی برای تمام جریان های اعم از مادون صوت یا فراصوت می توانند به کار برد شوند [۱۱-۱۲]. برای نمونه از روش های فشار پایه به کار برده شده در جریان های فراصوت می توان به روش کارکی^۸ و همکاران اشاره کرد [۱۳]. همچنین، الگوریتم SIMPLE نیز به عنوان روش با هزینه محاسباتی کمتر یکی از روش های پرکاربرد در این زمینه است [۱۴].

در این مقاله، از روش حل بر مبنای فشار و الگوریتم SIMPLE برای حل معادلات استفاده شد. معادله انرژی، مومنت، پیوستگی و آشفتگی (معادلات (۱-۹)) به صورت



شکل (۱۰): آنالیز حساسیت ضریب درگ وابسته به تعداد مش برای پرتاپه A.



شکل (۱۱): ضریب درگ به دست آمده از نتایج شبیه‌سازی برای پرتاپه‌های صفر و ۷۵ درجه و مقایسه با نتایج تجربی.

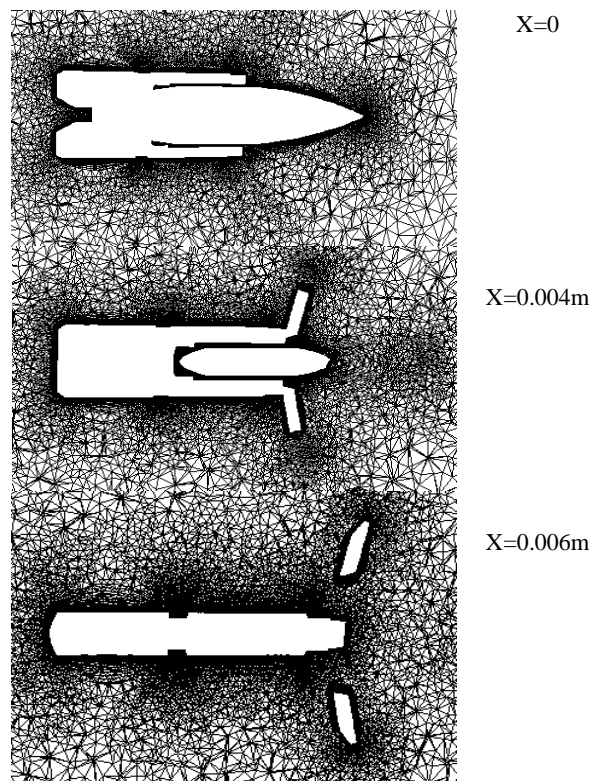
۲-۴- کانتورهای سرعت حول پرتاپه و تصاویر شلرین در شکل ۱۳ کانتورهای سرعت در ۴ پرتاپه شبیه‌سازی شده نشان داده شده است. همان‌طور که ملاحظه می‌شود، به‌دلیل وجود جریان برگشتی گاز در نواحی بازشده پرتاپه، افت سرعت در این نواحی وجود دارد. به‌دلیل بازشدنی سابت‌ها، افت سرعت در نواحی جلوی پرتاپه A نسبت به B و C نسبت به C بیشتر است. همچنین، نواحی وجود پدیده جدایش در شکل ۱۴ نشان داده شده است.

مقایسه نتایج تصاویر شلرین حاصل از نتایج تجربی با کانتورهای دانسیته به‌دست آمده از نتایج شبیه‌سازی در شکل ۱۵ نشان داده شده است. همان‌طور که مشاهده می‌شود، تراکم دانسیته گاز در اطراف دیواره‌های سابت بیشتر بوده و با افزایش عدد ماخ پیش روی جبهه موج به‌سمت عقب می‌باشد.

نمی‌شود. بنابراین، تعداد سل‌های محاسباتی برابر ۱۳۰,۴۵۳ استخراج گردید.

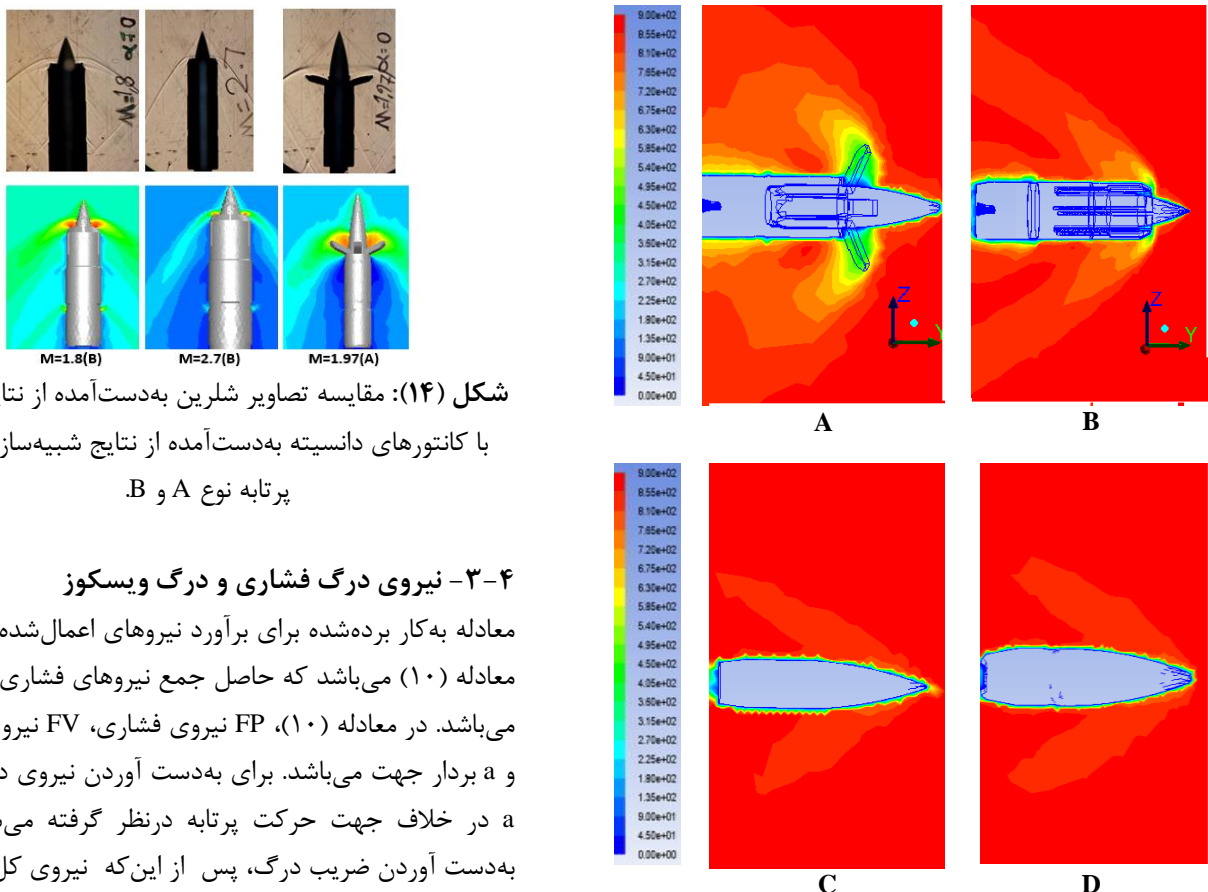
ضرایب درگ برای پرتاپه APDS در درجه بازشدنی صفر و ۷۵ درجه هم به‌شیوه تجربی (از طریق آزمایشات تونل باد) و هم به‌شیوه شبیه‌سازی CFD در اعداد ماخ مختلف بدست آمده و با یکدیگر مقایسه شدند.

نتایج این اعتبارسنجی در شکل ۱۱ برای پرتاپه APDS با زاویه بازشدنی صفر و ۷۵ درجه نشان داده شده است. با افزایش درجه بازشدنی، مقدار جریان‌های برگشتی فشاری بیشتر و درنتیجه درگ فشاری نیز بیشتر خواهد بود.



شکل (۹): شماتیک شبکه مورد استفاده در شبیه‌سازی‌ها.

چون مقدار این افزایش برای سابت با درجه بازشدنی ۷۵ درجه بیشتر است، بنابراین ضریب درگ پرتاپه سابت با درجه بازشدنی ۷۵ درجه نیز بیشتر است. مقادیر خطای شبیه‌سازی در حالت A و B به‌طور متوسط به ترتیب ۲ و ۷ درصد بودند، بنابراین نتایج تطابق خوبی را با داده‌های تجربی نشان دادند.



شکل (۱۴): مقایسه تصاویر شلرین به دست آمده از نتایج تجربی با کانتورهای دانسیته به دست آمده از نتایج شبیه‌سازی برای پرتابه نوع A و B.

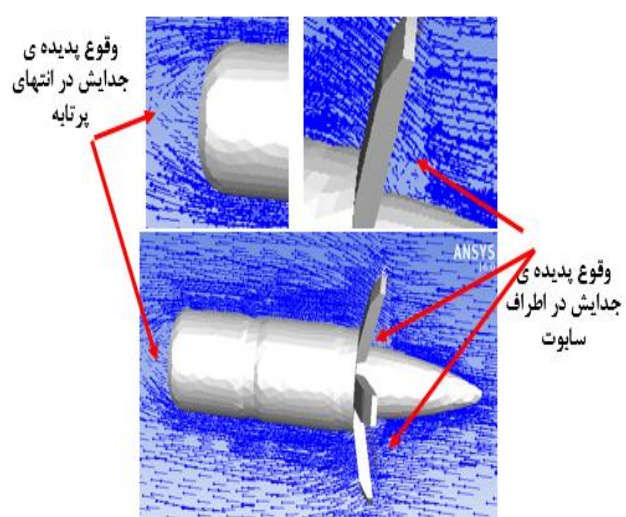
۳-۴- نیروی درگ فشاری و درگ ویسکوز

معادله به کار برده شده برای برآورد نیروهای اعمال شده بر دیواره، معادله (۱۰) می‌باشد که حاصل جمع نیروهای فشاری و ویسکوز می‌باشد. در معادله (۱۰)، F_P نیروی فشاری، F_V نیروی ویسکوز و a بردار جهت می‌باشد. برای به دست آوردن نیروی درگ، بردار در خلاف جهت حرکت پرتابه درنظر گرفته می‌شود. برای به دست آوردن ضریب درگ، پس از این که نیروی کل بر دیواره توسط نرم‌افزار فلوئنت محاسبه شد (F_a در معادله (۱۰)), ضرایب درگ از تقسیم این نیرو به عبارت ($1/2\rho v^2 A$) به دست می‌آیند [۸]. در این مقاله، برای A از کالیبر پرتابه ۱۲/۷ میلی‌متر) و برای سرعت از اعداد ماخ مختلف استفاده شده است.

$$F_a = a F_p + a F_v \quad (10)$$

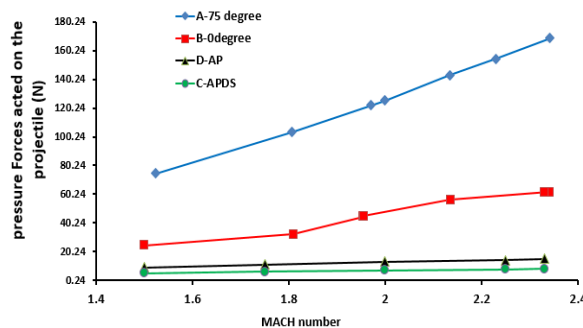
همان‌طور که در بخش ۱-۴ اشاره شده است، نیروی درگ پرتابه A بسیار بیشتر از پرتابه B است. برای بررسی دلایل این تغییر به تحلیل نیروی درگ پرداخته شده است. سایبوت با زاویه بازشدنی صفر درجه (پرتابه نوع B) دارای نیروی ویسکوز بیشتری نسبت به سایبوت با زاویه بازشدنی ۷۵ درجه (پرتابه نوع A) است. دلیل این افزایش را می‌توان به شکل پرتابه B مرتبط دانست که هر قدر پرتابه شکل مسطح‌تری داشته باشد، شکل‌گیری زیرلایه مرزی ویسکوز بهتر و نیروی درگ ویسکوز بیشتر است. چون شکل پرتابه B نسبت به A مسطح‌تر است، بنابراین، درگ ویسکوز پرتابه B نسبت به A بیشتر است. از طرفی شکل پرتابه D نسبت به B مسطح‌تر است، بنابراین درگ ویسکوز پرتابه D نسبت به B بیشتر است. (شکل (۱۶))

در پرتابه APDS هنگامی که گلبرگ‌های سایبوت از یکدیگر باز می‌شوند (پرتابه نوع A)، شکل‌گیری گرادیان‌های فشاری

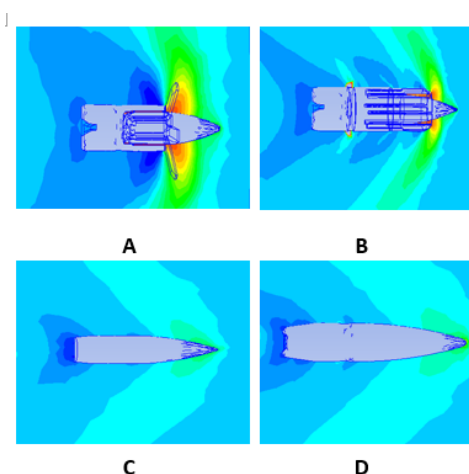


شکل (۱۲): کانتورهای سرعت حول پرتابه‌های مختلف نوع A, B, C, D برای عدد ماخ ۲/۵ برای جریان آزاد.

شکل (۱۳): نواحی وقوع جدایش در اطراف سایبوت و انتهای پرتابه.



شکل (۱۶): مقایسه نیروی درگ فشاری برای پرتابه‌های نوع A, B, C, D



شکل (۱۷): کانتورهای فشار حول پرتابه‌های مختلف در عدد ماخ ۱/۵.

۴- ضرایب بالستیک

باتوجه به این‌که ضرایب بالستیک یکی از معیارهای مهم برای نمایش چگونگی غلبه پرتابه بر مقاومت هواست، در این مقاله پس از بدست آوردن ضرایب درگ به محاسبه ضریب بالستیک پرداخته شده است. ضرایب درگ برای پرتابه‌های APDS بدون سایر پرتابه استاندارد می‌باشد. همچنین، کمترین ضرایب درگ برای پرتابه A بزرگ‌تر از B است. همچنانی، کمترین ضرایب درگ برای پرتابه C، یعنی APDS بدون سایر پرتابه می‌شود. همان‌طورکه ملاحظه می‌شود، کانتورهای فشاری که در شکل ۱۸ نشان داده شده‌اند، نواحی گردایان فشاری بزرگ را شامل می‌شود که در جلوی پرتابه A بیش‌تر از B تشکیل شده است و این نواحی در مورد پرتابه‌های C و D کم‌رنگ‌تر شده‌اند.

$$BC = w/i_j d^2 \quad (11)$$

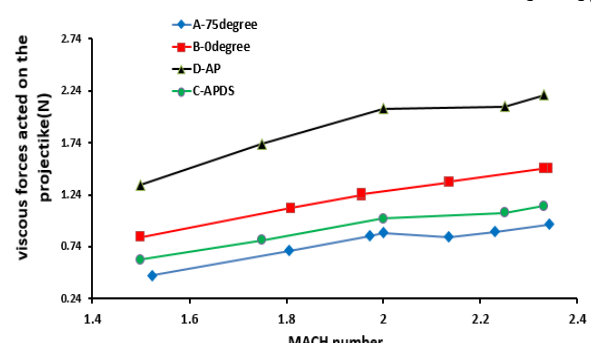
$$i_j = \left(\frac{C_D}{C_{Dg}} \right)_{ave} \quad (12)$$

در معادله (۱۱)، BC ضرایب بالستیک، w جرم پرتابه (بر حسب کیلوگرم)، d کالیبر (قطر پرتابه بر حسب متر) می‌باشد. همچنین، در معادله (۱۲)، i_j ضریب شکل^۱ CD ضریب درگ، CDg ضریب درگ پرتابه استاندارد می‌باشد.

۱- Form Factor

حول دیواره‌های سایر بیش‌تر می‌شود. در این حالت هم از شکل‌گیری لایه مرزی جلوگیری می‌کند و درگ ویسکوز را کاهش می‌دهد و هم سبب افزایش درگ فشاری می‌شود. بنابراین با توجه به کانتورهای فشار شکل ۱۸، انتظار می‌رود که نیروی درگ فشاری پرتابه A نسبت به B و پرتابه B نسبت به C بیش‌تر باشد. کوچک‌ترین درگ فشاری برای پرتابه نوع C به دست آمده است که طول و سطح مقطع آن نسبت به سایر پرتابه‌ها کوچک‌تر است (جدول ۱).

همچنین، مقادیر نیروهای درگ فشاری و ویسکوز در شکل‌های ۱۶-۱۷ نمایش داده شده‌اند. با افزایش عدد ماخ مقادیر نیروهای فشاری و اصطکاکی روند فزاینده‌ای دارند. دلیل این افزایش را می‌توان به افزایش ویسکوزیته توربولنسی و متعاقب آن افزایش نیروی ویسکوز ارتباط داد. همچنانی، با افزایش عدد ماخ گرادیان‌های فشار حول دیواره‌های سایر افزایش و نیروی درگ فشاری نیز افزایش می‌یابد. همان‌طورکه ملاحظه می‌شود، افزایش سرعت حرکت پرتابه از اعداد ماخ ۱/۵ تا ۲/۴ تاثیر بسیار زیاد در درگ فشاری دارد. در حالی‌که اثر چندانی در نیروی ویسکوز ندارد (شکل ۱۷). با توجه به این‌که نیروی درگ فشاری دارای مقادیر عددی بسیار بیش‌تری نسبت به نیروی درگ اصطکاکی است، پس اثر غالب در تعیین نیروی درگ کل دارد. بنابراین شکل ۱۸، شکلی تعیین‌کننده در ترتیب کیفی ضرایب درگ می‌باشد که، به ترتیب برای پرتابه A بزرگ‌تر از B و برای پرتابه B بزرگ‌تر از D است. همچنانی، کمترین ضرایب درگ برای پرتابه C، یعنی APDS بدون سایر پرتابه می‌شود. همان‌طورکه ملاحظه می‌شود، کانتورهای فشاری که در شکل ۱۸ نشان داده شده‌اند، نواحی گردایان فشاری بزرگ را شامل می‌شود که در جلوی پرتابه A بیش‌تر از B تشکیل شده است و این نواحی در مورد پرتابه‌های C و D کم‌رنگ‌تر شده‌اند.



شکل (۱۵): مقایسه نیروی درگ ویسکوز برای پرتابه‌های نوع A, B, C, D

جدول (۲): مقایسه و نحوه محاسبه ضرایب بالستیک.

Mach	C_{D7}	i_j APDS	i_j AP
۱/۵	۰/۳۴۴	۱/۱۹۴۴۵۸	۱/۲۵۲۸۲۲
۱/۷۵	۰/۳۲۲	۱/۱۹۱۶۳۲	۱/۲۷۹۲۸۶
۲	۰/۲۹۸	۱/۱۸۱۴۲۴	۱/۲۶۱۵۱
۲/۲۵	۰/۲۷۸	۱/۱۴۶۲۷	۱/۲۰۳۵۱۷
۲/۵	۰/۲۷	۱/۰۷۶۹۱۷	۱/۱۲۳۳۰۵

مقدار ضریب بالستیک (BC) برای پرتاپه AP برابر $0/293$ و برای پرتاپه APDS برابر $0/363$ به دست آمد. بنابراین، ضریب بالستیک پرتاپه APDS نسبت به پرتاپه AP، $24/24$ درصد افزایش یافته است، یعنی قدرت مقاومت آن در برایر هوا بیشتر شده است، بنابراین دارای برد بیشتر و قدرت نفوذ بیشتری خواهد بود. از آنجا که ضریب درگ از پارامترهای بسیار مهم در ضریب بالستیک است، بنابراین دینامیک سیالات به عنوان ابزاری قدرتمند و دقیق برای محاسبه ضریب درگ و متعاقب آن ضریب بالستیک محسوب می‌شود. می‌توان در مورد هر پرتاپه دلخواه طراحی شده، ضریب درگ را از شبیه‌سازی به دست آورده و به محاسبه ضریب بالستیک پرداخت. چه بسا که محاسبه ضریب درگ از طریق آزمایشات مستلزم صرف زمان و هزینه زیاد می‌باشد.

۵- نتیجه‌گیری

به منظور ساخت پرتاپه‌ایی که بتواند نفوذ بیشتری را در اهداف زرهی سبک ایجاد کنند، لازم است که از مواد سخت مانند کاربیدتنگستن استفاده شود. در هنگام استفاده از کاربیدتنگستن سرعت مناسب در دهانه سلاح، از یک پوشش پلیمری به نام سایوت بر روی پرتاپه تنگستنی استفاده می‌شود. این پوشش پلیمری، جرم کل پرتاپه را کاهش داده و پرتاپه را به کالیبر معمول آن یعنی $12/95$ میلی‌متر می‌رساند.

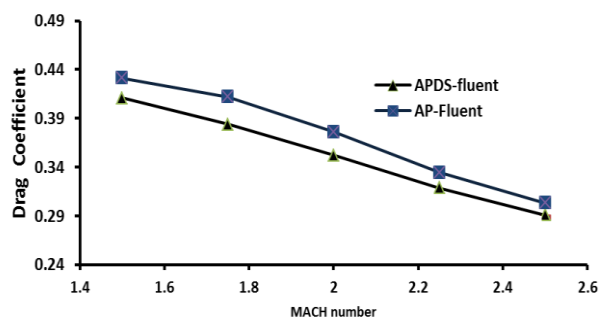
در این مقاله به شبیه‌سازی پرتاپه سایوت دار (همراه با پوشش پلیمری) در زاویه حمله صفر درجه پرداخته شد. نتایج تجربی و شبیه‌سازی نشان داد که، ضریب درگ در زاویای بازشدگی صفر و 75 درجه به ترتیب 70 درصد و 100 درصد افزایش می‌یابد. بنابراین، نحوه قرار گرفتن پوشش پلیمر بر پرتاپه به گونه‌ای طراحی می‌شود که، بتواند پس از بازشدن از روی هسته فلزی نافذ جدا شود. به دلیل افزایش بسیار زیاد ضریب درگ و نیروهای فشاری بسیار قوی بر روی دیوارهای سایوت،

با استفاده از نرم‌افزار فلوئنت ضریب درگ برای 4 نوع پرتاپه به دست آمد. ضریب درگ پرتاپه‌های A و B به دست آمده از نرم‌افزار فلوئنت در شکل 12 نشان داده شده است. ضریب درگ پرتاپه‌های C بدون سایوت و D (پرتاپه APDS) به دست آمده از نرم‌افزار فلوئنت در شکل 19 نشان داده شده است. همان‌طور که ملاحظه می‌شود، پرتاپه D نسبت به C دارای ضریب درگ بیشتری است.

پس از به دست آمدن ضرایب درگ، به محاسبه ضرایب بالستیک توسط روش McCoy در سال 1998 پرداخته شد [۱۵]. ضرایب بالستیک در اعداد ماخ $1/5$ تا $2/5$ برای پرتاپه نوع C و D محاسبه شدند. با توجه به روش McCoy، محاسبه ضریب بالستیک نیازمند ضریب درگ استاندارد بود. با توجه به تناسب شکلی که پرتاپه‌های C و D با تابع $G7$ در کتاب McCoy داشتند، ضرایب درگ استاندارد برای این مساله، ضرایب درگ تابع $G7$ تعریف شدند. این مقادیر در ستون دوم جدول 4 نشان داده شده‌اند.

برای به دست آوردن \bar{z}_j برای هر کدام از پرتاپه نوع C و D، از معادله (۱۳) استفاده شد. برای این منظور ضرایب درگ در اعداد ماخ اشاره شده در ستون اول جدول 4 ، برای هر دو پرتاپه C و D به دست آمدند و از تقسیم ضرایب درگ آنها به ضرایب درگ استاندارد (ستون دوم از جدول 4) برای هر عدد ماخ، ستون 3 و 4 از جدول 4 به دست آمدند. درنهایت مقادیر میانگین آنها از معادله (۱۳) به دست آمدند. بعد از محاسبه مقدار \bar{z}_j و با توجه به مشخصات پرتاپه‌ها (جدول 1) این مقادیر در معادله (۱۱) جایگذاری و ضرایب بالستیک محاسبه شدند.

$$i_j = \left(\frac{C_D}{C_{Dg}} \right)_{ave} = \frac{\sum_{m=1}^n \left(\frac{C_D}{C_{Dg}} \right)}{n} \quad (13)$$



شکل (۱۸): مقایسه ضریب درگ به دست آمده از نرم‌افزار فلوئنت برای پرتاپه APDS بدون سایوت و پرتاپه AP.

- Ballistics Interlaken, Switzerland, pp. 1191-1197, 2001.
2. Suwei, F. and Guocai, Z. "The Study of Sabot Discarding Mechanism of Gas-Propelled APDS", Applied Mathematics and Mechanics, Vol. 18, No. 2, pp. 151-156, 1997.
 3. Suliman, M., Mahmoud, O., Al-Sanabawy, M., and Abdel-Hamid, O. "Computational Investigation of Base Drag Reduction for a Projectile at Different Flight Regimes, in: Paper: ASAT-13-FM-05", The 13th Int. Conf. on Aerospace Science and Aviation Technology, Military Technical College, Kobry Elkobbah, Cairo, Egypt, 2009.
 4. Sahu, J. "Time-Accurate Computations of Free-Flight Aerodynamics of a Spinning Projectile with and without Flow Control", Defense Tech., Information Center, 2006.
 5. Kokes, J., Costello, M., and Sahu, J. "Generating an Aerodynamic Model for Projectile Flight Simulation, Using Unsteady Time Accurate Computational Fluid Dynamic Results", DTIC Document, 2006.
 6. DeSpirito, J. and Plostins, P. "CFD Prediction of M910 Projectile Aerodynamics: Unsteady Wake Effect on Magnus Moment", The AIAA Atmospheric Flight Mechanics Conference, pp. 867-884, 2007
 7. Massey, K. and Silton, S. "Combining Experimental Data, CFD, and 6-DOF Simulation to Develop a Guidance Actuator for a Supersonic Projectile", DTIC Document, 2007.
 8. Ansys, A.F., 14.0 Theory Guide, ANSYS Inc., pp. 218-221, 2011.
 9. Cayzac, R., Carette, E., and Heddadj, S. "Complex Aerodynamics Behavior of High Spin APFSDS Projectile", Journal of Applied Mechanics, Vol. 80, No. 3, p. 031601, 2013.
 10. Fluent, A., 12.0 Theory Guide, Ansys Inc., 2009.
 11. Miettinen, A. and Siikonen, T. "Application of Pressure and Density-Based Methods for Different Flow Speeds", International Journal for Numerical Methods in Fluids, Vol. 79, No. 5, pp. 243-267, 2015.
 12. Yakubov, S., Maquil, T., and Rung, T. "Experience Using Pressure-Based CFD Methods for Euler-Euler Simulations of Cavitating Flows", Computers and Fluids, Vol. 111, pp. 91-104, 2015.
 13. Karki, K. and Patankar, S. "Pressure Based Calculation Procedure for Viscous Flows at all Speeds in Arbitrary Configurations", AIAA journal, Vol. 27, No. 9, pp. 1167-1174, 1989.
 14. Han, P. and Chen, X. "Modeling of the Subsonic-Supersonic Flow and Heat Transfer in a DC arc Plasma Torch", Plasma Chemistry and Plasma Processing, Vol. 21, No. 2, pp. 249-264, 2001.
 15. McCoy, R. "Modern Exterior Ballistics: The Launch and Flight Dynamics of Symmetric Projectiles", Schiffer, 1999.

سابوت به راحتی از پرتابه جدا خواهد شد. پس از جدادشن سابوت از روی هسته فلزی، پرتابه APDS بدون سابوت به مسیر خود ادامه می‌دهد. پرتابه APDS بدون سابوت همان پرتابه مشهور به APDS در معنای عام می‌باشد که استفاده نظامی دارد.

در گام اول به بررسی آبرودینامیکی پرتابه APDS با درجه بازشگی صفر و ۷۵ درجه پرداخته شد. نتایج تجربی توپل باد به صورت داده‌های ضریب درگ و تصاویر شلرین در محدوده اعداد ماخ ۱/۵ تا ۲/۸ بود. در گام دوم مقاله، به شبیه‌سازی پرتابه‌های آزمایش شده در توپل باد پرداخته شد و نتایج شبیه‌سازی همخوانی بسیار خوب را با نتایج تجربی از دید ضریب درگ و تصاویر شلرین در دسترس نشان داد.

در گام سوم با استفاده از شبیه‌سازی انجام گرفته برای پرتابه AP و APDS بدون سابوت، ضرایب درگ برای این پرتابه‌ها به دست آمده و در ضرایب بالستیک قرار داده شد. ضرایب بالستیک پرتابه APDS نسبت به پرتابه AP افزایش ۲۴ درصدی را نشان داد. بنابراین در نهایت ضریب بالستیک پرتابه افزایش یافت، علاوه بر این که عملکرد نفوذی آن در هدف با موجودیت کاربیدتنگستن نیز حفظ شد.

بنابراین دینامیک سیالات به عنوان ابزاری قدرتمند و دقیق برای محاسبه ضریب درگ و متعاقب آن ضریب بالستیک محسوب می‌شود. می‌توان در مورد هر پرتابه دلخواه طراحی شده، ضریب درگ را از شبیه‌سازی به دست آورده و به محاسبه ضریب بالستیک پرداخت. چه بسا که محاسبه ضریب درگ از طریق آزمایشات مستلزم صرف زمان و هزینه زیاد می‌باشد.

باتوجه به این که ضریب درگ در ابتدای خروج از دهانه سلاح بسیار مهم است (هنگام بازشگی سابوت با درجه ۷۵ درجه)، بنابراین اگر پارامترهای طراحی به گونه‌ای تنظیم گردد که بتواند سابوت را در فاصله کوتاهتری از روی پرتابه جدا کند، می‌تواند درصد افزایش برد APDS را نسبت به AP بیشتر کند.

۶-تشکر و قدردانی
مولفان از امکانات ارزشمند دانشگاه امام حسین^(ع) کمال تشکر و قدردانی را دارند.

۷-مراجع

1. Lanz, W., Odermatt, W., and Weihrauch, G. "Kinetic Energy Projectiles: Development History, State of the Art, Trends", The 19th Int. Symp. on